

دراسة انتشار التيارات البحرية الحاملة لبعض العناصر الثقيلة عند المصببات البحرية شمال مدينة اللاذقية

الدكتور كميل بوراس*

الدكتورة فريال ايغو**

(قبل للنشر في 2000/6/26)

□ الملخص □

يوجد على الشاطئ عدد كبير من المصببات (السواقي - الأنهار - المجاري) تعمل جميع هذه المصببات على قذف مياهها على الشاطئ، والنفايات الملقاة في مياه البحر بشكل رئيسي، هي نفايات الصرف الصحي، والصرف الصناعي ذي الطبيعة السامة؛ كمركبات المبيدات الزراعية وبقايا الأصبغة، والبقايا التي تحتوي على العناصر والمعادن السامة، وهي من أخطر أنواع نفايات الصرف الصناعي. لقد عملنا على دراسة هذه المصببات وعلاقتها بالتيارات والأمواج، عن طريق قياس بعض الخواص الكيميائية لمياه البحر، وتشمل هذه القياسات قياس تراكيز بعض العناصر السامة (النحاس، التوتياء، الكروم والرصاص). نتيجة هذه القياسات السابقة توصلنا إلى معرفة التراكيز من قرب المصببات خلال أشهر السنة، ومقارنتها بالتراكيز المسموحة، كما توصلنا إلى وجود علاقة، بين مواقع المصببات وحركة التيارات والأمواج عند الشاطئ.

* أستاذ مساعد - قسم الهندسة المائية - كلية الهندسة المدنية - جامعة تشرين - اللاذقية - سورية.

** أستاذ مساعد - قسم الهندسة المائية - كلية الهندسة المدنية - جامعة تشرين - اللاذقية - سورية.

A STUDY OF THE DEVELOPMENT OF MARINE CURRENTS BEARING SOME HEAVY ELEMENTS AT THE MARINE POURS NORTH OF LATTAKIA CITY

Dr. Camille BOURAS*

Dr. Férial AIGHO**

(Accepted 26/6/2000)

□ ABSTRACT □

A great number of pours (flows, rivers and sewage) are driven to the coastal inhibited areas at which different wastes are rejected into the seawater.

These pour come from an industrial and hygiene sewage carrying toxicants such as agricultural chemicals, dyes and heavy metals wich are the most dangerous wastes of industrial sewage.

This study is an attempt to find out the relationship between the coastal pours and the movements of some heavy metals under the effects of the marine currents and waves.

Concentrations of Cu, Zn, Cr, and Pb proxined to these pours were measuret at different intervals of the year, and compared with the critical limits. A clear relationship appeared to exist among the locations of these pours and the coastal movement of the currents and waves.

* Associate Professor at the of Department of Aquatic Engineering, Faculty of Civil Engineering, Tishreen University, Lattakia, Syria.

** Associate Professor at the of Department of Aquatic Engineering, Faculty of Civil Engineering, Tishreen University, Lattakia, Syria.

مقدمة:

تعتبر التيارات البحرية والأمواج، من أهم العوامل التي تعمل على نقل، وتوزيع مياه المصببات المائية في البحر، وغالباً ما تخلق تيارات جديدة؛ وهذه ناتجة من اختلاف الكثافة والحرارة بين مياه البحر ومياه الصرف المصبوب عند الشاطئ. ويدعى هذا النوع من التيارات بالتيارات الثانوية. وغالباً ما تحوي مياه الصرف تحوي على مركبات عضوية، ومركبات كيميائية، تعمل على تغيير في الخواص الفيزيائية والكيميائية لمياه البحر، وهذا بدوره سوف يؤثر في الأحياء المائية؛ لذلك يتوجب علينا إجراء قياسات مستمرة خلال عام على الأقل ومراقبتها؛ لكي لا تتجاوز الحدود المسموحة. تقوم التيارات المحلية والتيارات المسيطرة بمهمة نشر الملوثات وتخفيف تركيزها. أما الأمواج فهي التي تحقق الخلط الجيد للملوثات، وتعمل الرياح السطحية على جرف المواد الطافية، والبقع النفطية، والزيوت فوق سطح البحر. لإتمام هذه الدراسة نعمل -أولاً- على قياس حركة التيارات والأمواج ودراساتها، وثانياً قياس تراكيز بعض المواد المعدنية المنتشرة في مياه البحر، وخاصة النحاس والتوتياء والرصاص والكروم. من أجل قياس سرعة التيارات في المنطقة المدروسة واتجاهها، والمحددة على المخطط، قمنا بإجراء قياس سرعة التيار واتجاهه، عن طريق جهاز خاص يستخدم لهذه الغاية.

مبدأ عمل الجهاز:

يتألف الجهاز من جسم مغزلي انسيابي يحوي في نهايته مروحة، متصلة بعدد يقوم بتسجيل عدد دورات المروحة، حيث تزداد سرعتها مع زيادة سرعة التيار، كما يوجد منحني معياري على الجهاز نفسه، يرسم تغيير عدد الدورات مع سرعة التيار.

تيارات ساحلية:

هذا النوع من التيارات التي تجري بشكل مواز للخط الساحلي، ينشأ في منطقة التكسر. يرجع ذلك إلى القوة الدافعة للأمواج التي تنكسر على زاوية مع خط الشاطئ، يتم قياسها بتقسيم المسافة L خلال زمن T . وتكون سرعة التيار المتوسطة $V = \frac{L}{T}$ ، واتجاهها هو الاتجاه المسيطر للتيارات في المنطقة (أي من الجنوب إلى الشمال). لقد تم قياس التيار الساحلي في محطات محددة على كل محور من المحاور المدروسة. [1، 2].

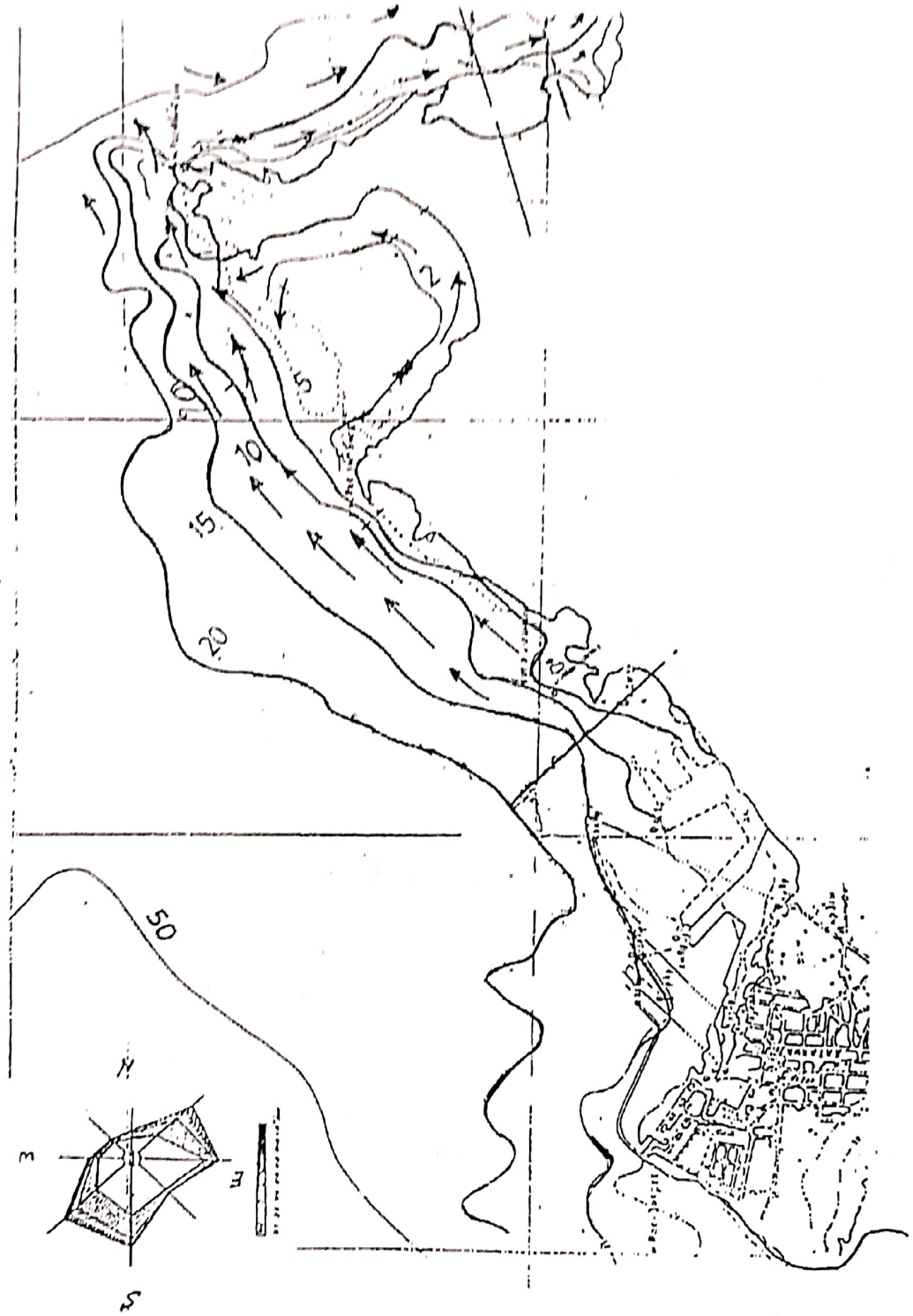
تيارات خارج نطاق منطقة التكسر:

يتم قياس التوزيع الشاقولي لهذه التيارات بأخذ قراءات عند ثلاثة مستويات (قرب السطح، قرب القاع، منتصف المسافة بين السطح والقاع)، باستخدام مقياس التيار ذي القراءة المباشرة الذي يعطي السرعة والاتجاه. يتم أخذ هذه المقاييس على طول المقاطع الجانبية عند مسافات ثابتة (100، 150، 250، 350، 450) م من الخط القاعدي، وعلى طول المقاطع الجانبية خلال المسح الذي تم ذكره [3]، ويبين الشكل (1) تغيير التيارات عند الشاطئ المدروس، علماً بأن أكبر سرعة للتيار تم قياسها كانت 0.80 م/ثا، وأصغر سرعة للتيار تم قياسها كانت 0.1 م/ثا. مع ملاحظة أن التيارات تنشط بشكل كبير في بداية الخريف وبداية الربيع، وتكون أقل نشاطاً في باقي الفصول [4].

دراسة ارتفاع الأمواج:

تم قياس ارتفاع الأمواج في المنطقة المدروسة، ودون في سجلات خاصة متعلقة بهذه البيانات، وشملت ما يلي:

- 1- ارتفاع الموجة الأصغرية.
- 2- ارتفاع الموجة الأعظمية.



الشكل (1) يمثل توزيع التيارات البحرية عند الشاطئ المدرس

وقد تمت مقارنة هذه القياسات بقياسات أخرى أخذت من مديرية توسيع مرفأ اللاذقية، كما هو مبين في الجدولين (2،1).

لقد استطعنا من خلال هذه الدراسة أن نحدد القيمة الاحتمالية العظمى، وارتفاع الموجة المقاسة خلال فترة الدراسة، حيث بلغت قيمتها 3.36 م خلال شهر آذار عام 1997.

الجدول (1): قيم ارتفاع الموج h_w (الأصغرية/الأعظمية) مقدراً بالـ (m) لأشهر السنة المقاسة في المنطقة المدروسة لعامين 1997، 1998

العام	ارتفاع الموجة h_w (m)	كانون 2	شباط	آذار	نيسان	أيار	حزيران	تموز	أب	أيلول	تشرين 1	تشرين 2	كانون 1
1997	أصغري	1.5	1.8	1.53	0.73	0.84	0.43	0.43	1.05	0.73	1.5	1.8	1.7
	أعظمي	2.5	2.8	3.36	2.69	2.84	2.34	2.34	1.73	1.4	3.3	2.2	2.3
1998	أصغري	1.05	1.38	0.93	0.83	0.73	0.53	0.63	0.73	1.43	1.33	1.26	1.38
	أعظمي	1.98	2.24	1.69	1.69	1.69	1.52	1.52	1.69	1.34	1.13	2.12	2.24

جدول (2): قيم ارتفاع الموج h_w (الأصغرية/الأعظمية) مقدراً بالـ (m) المأخوذة من المديرية العامة لشركة توسيع المرفأ لعامي (1992، 1993)

العام	ارتفاع الموجة h_w (m)	كانون 2	شباط	آذار	نيسان	أيار	حزيران	تموز	أب	أيلول	تشرين 1	تشرين 2	كانون 1
1992	أصغري	1.74	2.80	2.30	2.30	1.74	1.74	1.38	1.05	1.74	2.30	2.99	1.74
	أعظمي	2.59	3.27	2.90	2.90	2.59	2.59	2.24	1.98	2.59	2.90	3.35	2.59
1993	أصغري	0.43	1.53	0.53	0.87	0.87	0.33	0.43	0.33	0.33	0.43	0.20	2.15
	أعظمي	1.34	2.36	1.52	1.84	1.84	1.13	1.34	1.13	1.13	1.34	0.88	2.98

دراسة تراكيز بعض العناصر المعدنية عند المصببات البحرية المدروسة:

لدراسة وقياس تراكيز العناصر المعدنية في مياه البحر، تم اختيار أربعة عناصر معدنية، وهي (النحاس، الرصاص، التوتياء والكروم). لذلك أخذت عينات مائية من مواقع محددة، وعلى عمق واحد مقداره 0.5 م تحت سطح البحر، وأجريت عليها التحاليل اللازمة، من خلالها تم تحديد تراكيز كل عنصر بمفرده، وسجلت النتائج في الجداول (3،4،5)، والأشكال (2،3،4،5،6،7) تظهر تغير تراكيز المواد السامة عند كل موقع وفي كل فصل. وتمت مقارنتها بالتراكيز المسموحة لها في مياه البحر [5،6]. وهذه التراكيز المسموحة مدونة في الجدول (6). ونظراً لأهمية القياس، تم اختيار ثلاثة مواقع حساسة مختلفة، وهي مصب مجاري الكورنيش الجنوبي، ومصب مجاري أفامياً، والشاطئ الأزرق (بعيداً عن المصببات).

* لقد قمنا بدراسة تركيز كل من النحاس والتوتياء والرصاص والكروم في عينات مياه البحر بطريقة اللهب (Flamme AAS) - والتنديرة الكهروحرارية (ETA-AAS) عندما لا تتسجم طريقة Flamm-AAS.

الجدول (3) يبين تغير تراكيز بعض العناصر السامة خلال أشهر السنة لمنطقة الكورنيش الجنوبي

المعدن	تاريخ أخذ العينة	1997/6	1997/8	1997/10	1998/4
نحاس		1.10	1.15	1.66	1.41
توتياء		6.35	3.96	4.63	3.84
رصاص		0.22	0.315	0.165	0.195
كروم		0.25	0.39	0.32	0.21

التراكيز مقدرة بـ ($\mu\text{g/l}$) - قيمة كل تركيز هي قيمة وسطية خلال الشهر.

الجدول (4) يبين تغير تراكيز بعض العناصر السامة خلال أشهر السنة لمنطقة جنوب أفاميا

المعدن	تاريخ أخذ العينة	1997/6	1997/8	1997/10	1998/4
نحاس		1.35	1.21	1.49	1.35
توتياء		6.29	7.28	5.77	4.20
رصاص		0.30	0.31	0.15	0.25
كروم		0.32	0.36	0.34	0.29

التراكيز مقدرة بـ ($\mu\text{g/l}$) - قيمة كل تركيز هي قيمة وسطية خلال الشهر.

الجدول (5) يبين تغير تراكيز بعض العناصر السامة خلال أشهر السنة لمنطقة الشاطئ الأزرق

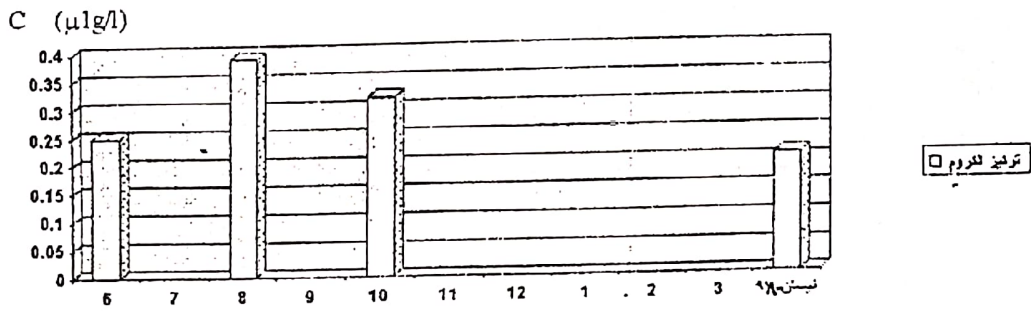
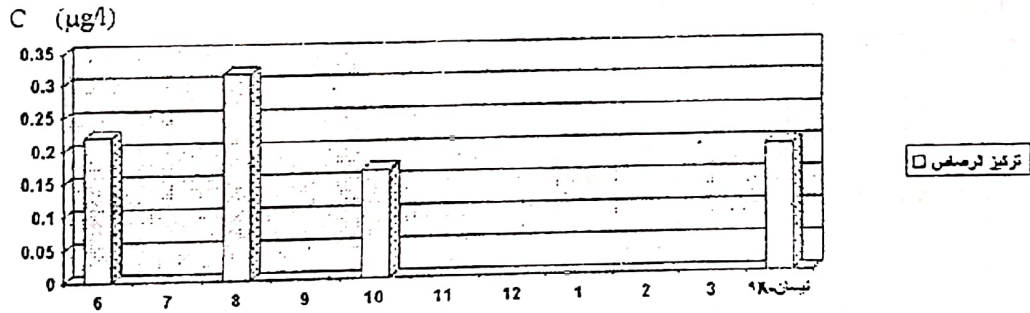
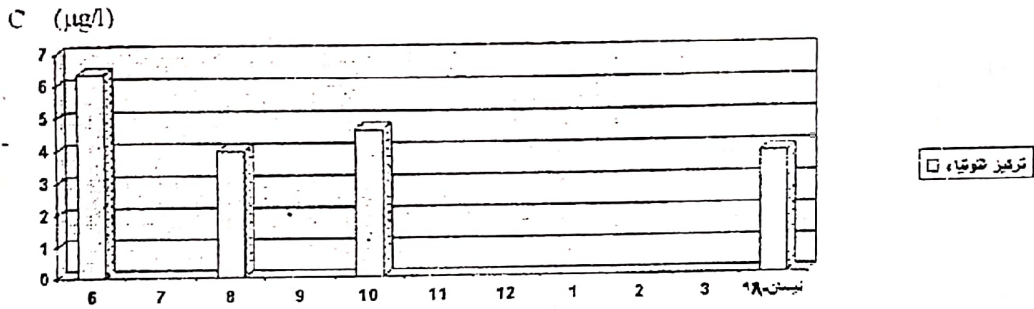
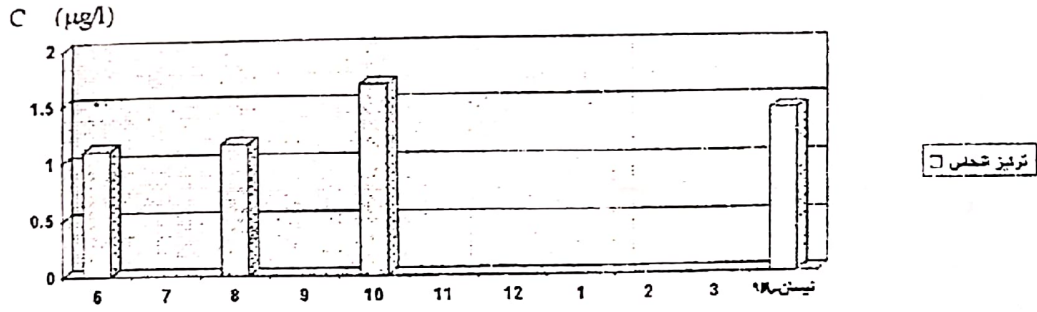
المعدن	تاريخ أخذ العينة	1997/6	1997/8	1997/10	1998/4
نحاس		0.08	0.94	1.125	1.65
توتياء		2.52	5.44	5.41	4.84
رصاص		0.24	0.255	0.21	0.23
كروم		0.225	0.27	0.225	0.30

التراكيز مقدرة بـ ($\mu\text{g/l}$) - قيمة كل تركيز هي قيمة وسطية خلال الشهر.

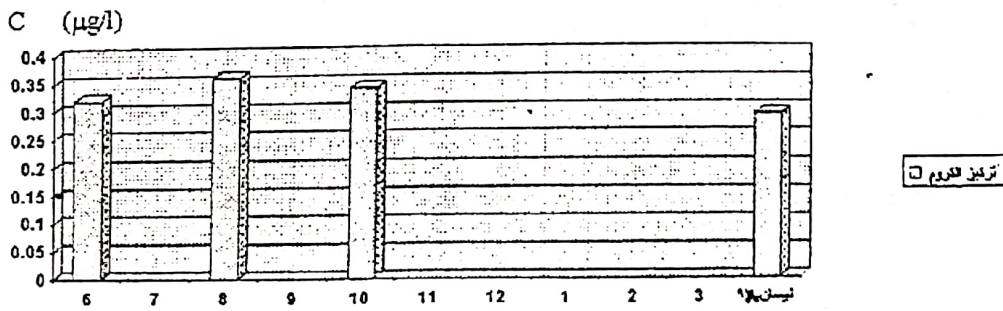
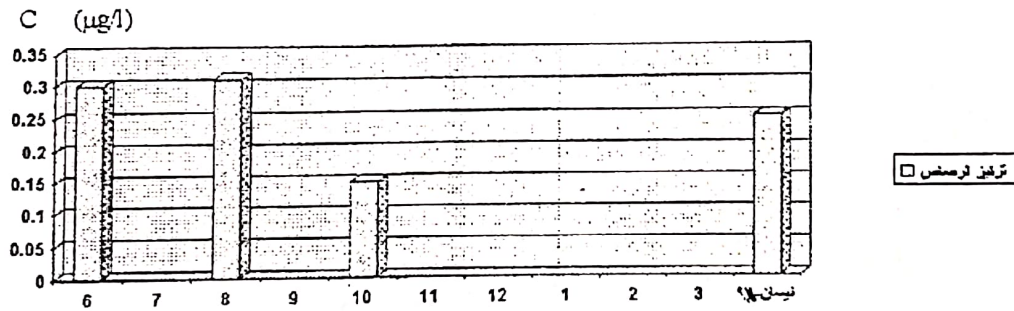
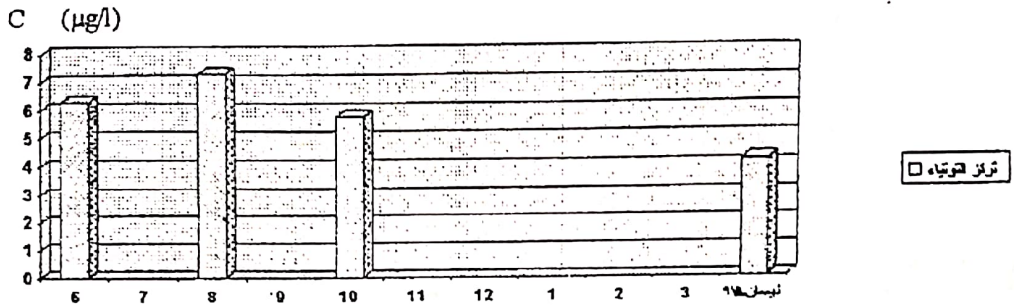
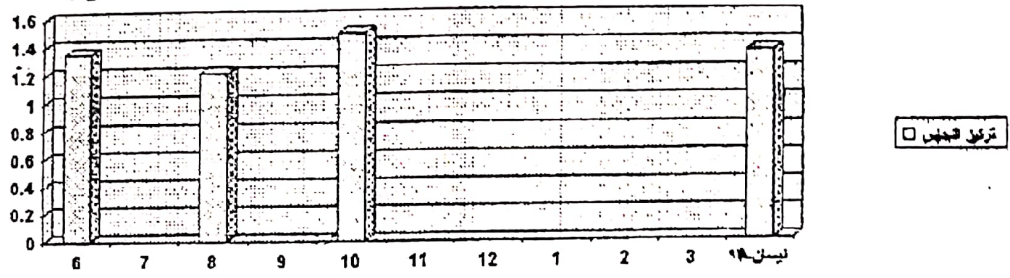
الجدول (6) يبين تراكيز العناصر السامة المسموحة في مياه البحر للعناصر المدروسة، حسب المواصفات العالمية

المعدن	نحاس (mg/l)	توتياء (mg/l)	رصاص ($\mu\text{g/l}$)	كروم (mg/l)
التركيز المسموح	5-1	10-5	0.03	0.5

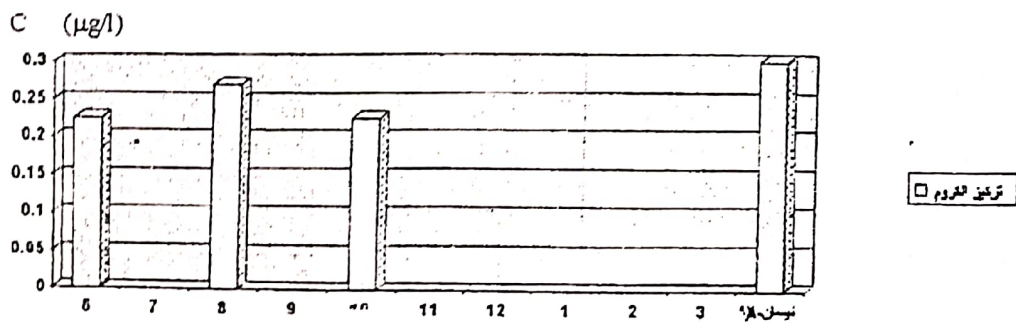
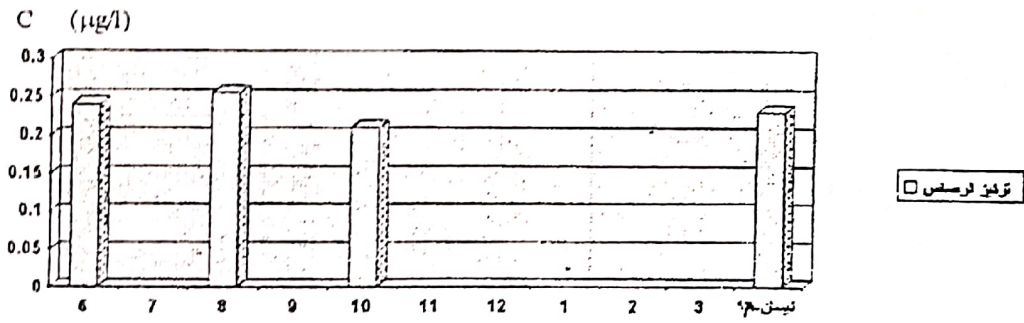
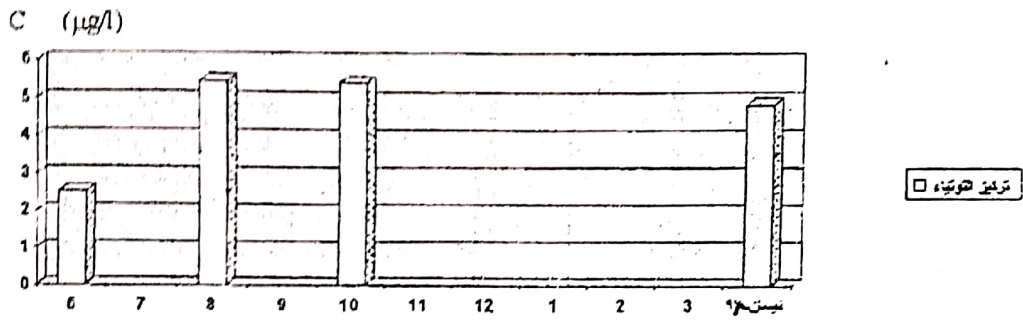
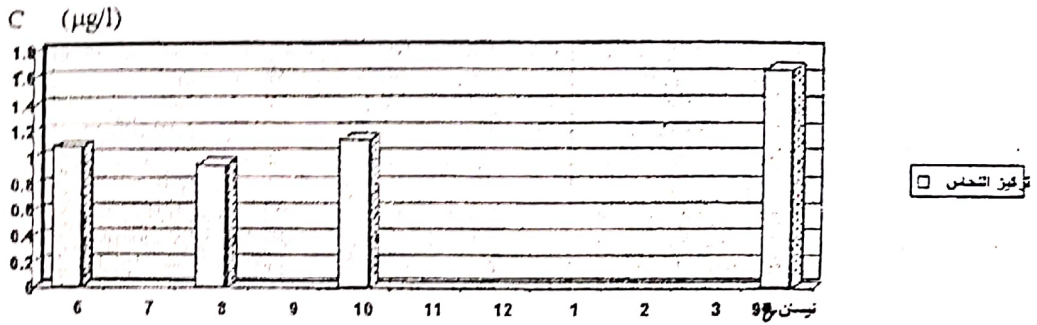
أما الأشكال التالية فتمثل تغيرات تراكيز المواد السامة لكل منطقة



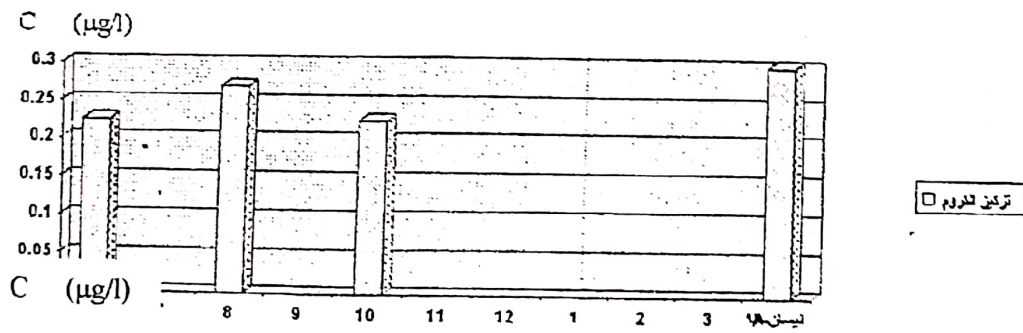
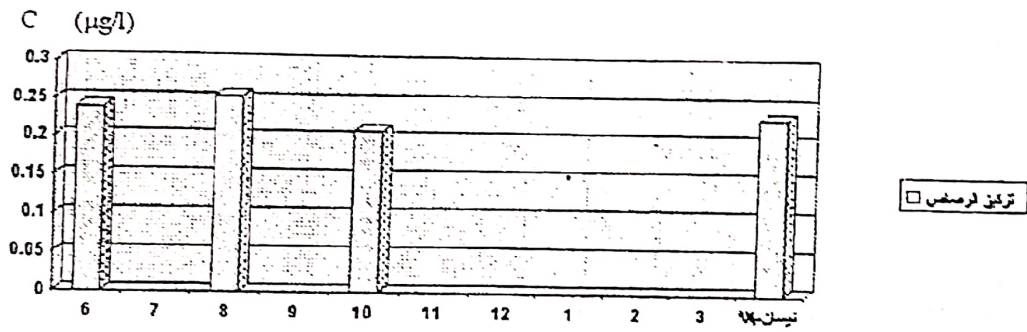
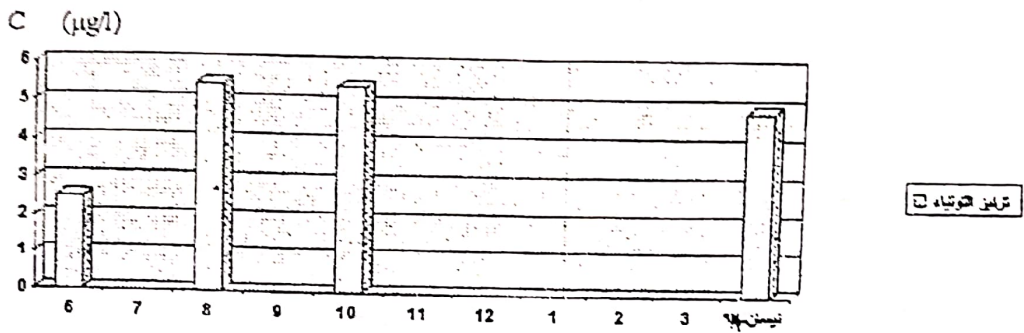
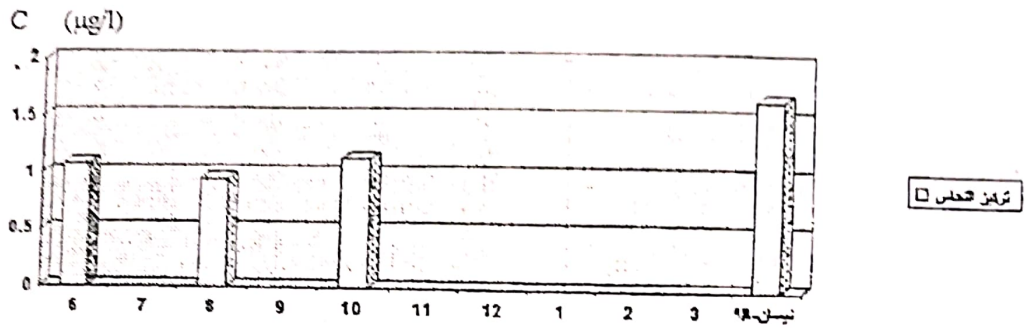
الشكل (2) تغير التراكيز لمنطقة الكورنيش الجنوبي (الزمن يمثل من الشهر 1997/6 حتى الشهر 1998/4)



الشكل (3) تغيير التراكيز لمنطقة جنوب أقاميا (الزمن يمثل من الشهر 1997/6 حتى الشهر 1998/4).

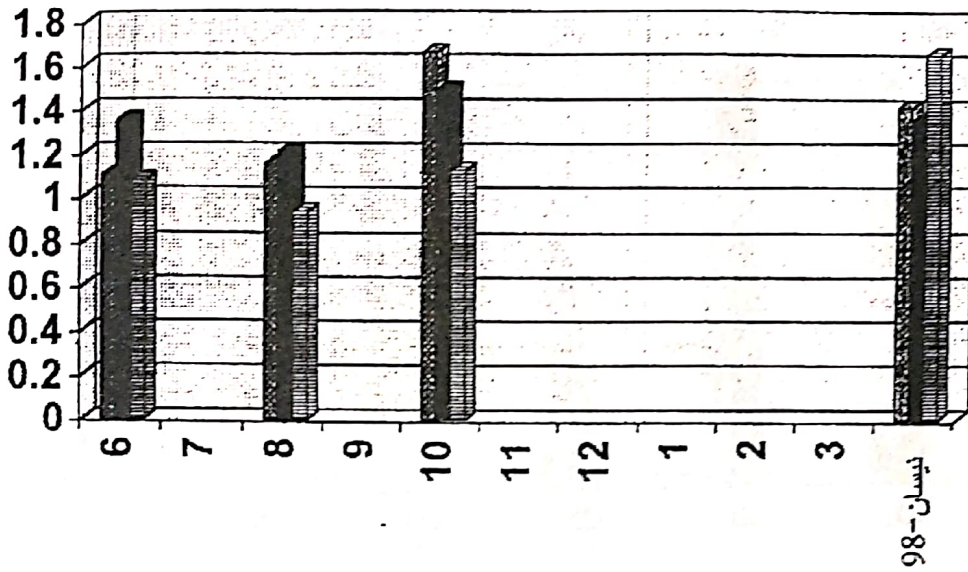


الشكل (4) تغير التراكيز لمنطقة الشاطئ الأزرق 0الزمن يمثل من الشهر 1997/6 حتى الشهر 1998/4.

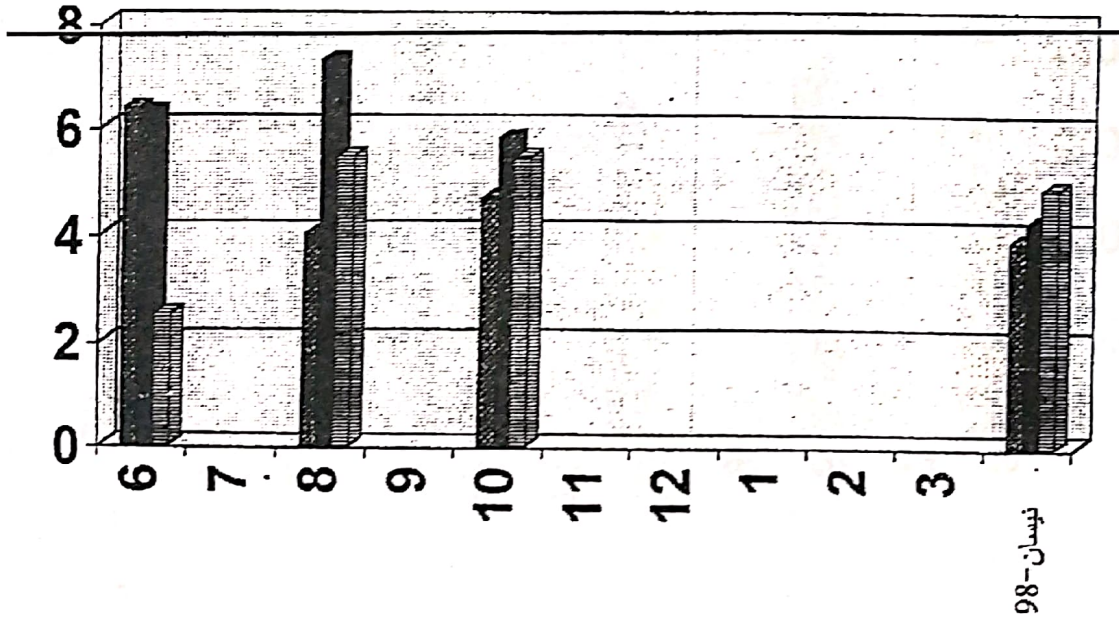


الشكل (5) تغير التراكيز لمنطقة الشاطئ الأزرق (الزمن يمثل من الشهر 1997/6 حتى الشهر 1998/4).

المخطط العام لتركيز النحاس

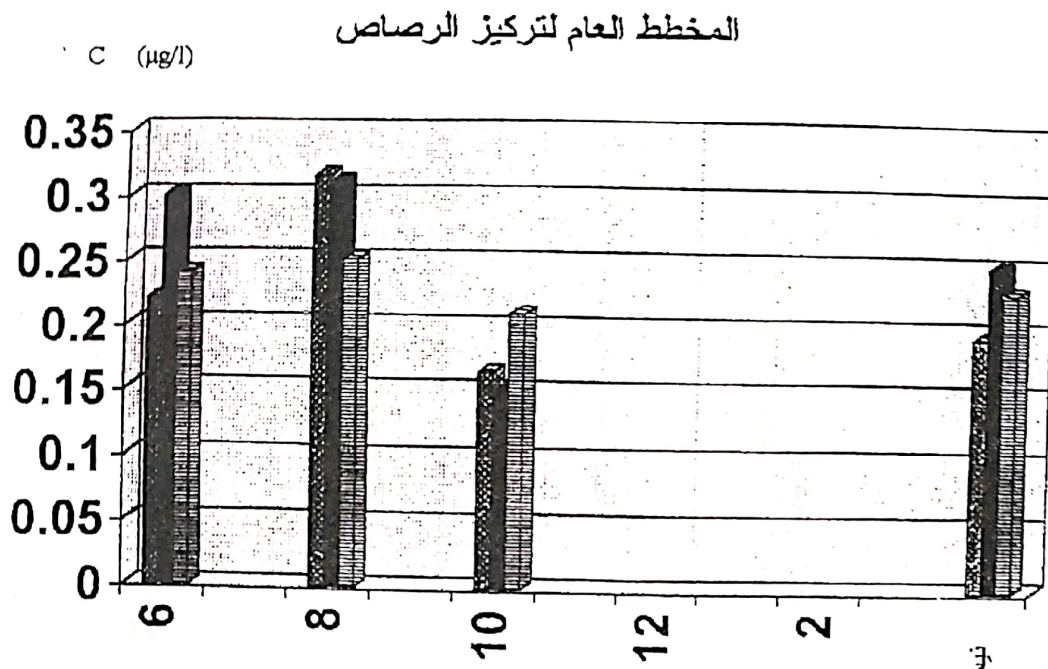


المخطط العام لتركيز التوتياء

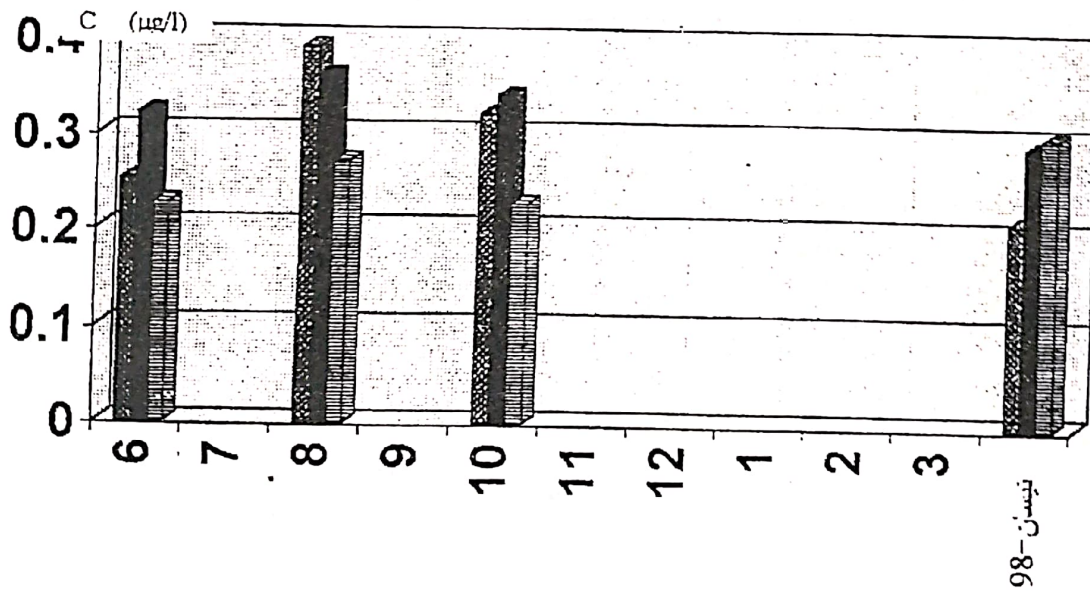


■ الكورنيش الجنوبي ■ جنوب أقاليا ■ الشاطئ الأزرق

الشكل (6) المخطط العام لتركيز كل من النحاس والتوتياء



المخطط العام لتركيز الكروم



الكوئيش الجنوبي جنوب أفاميا الشاطئ الأزرق

الشكل (7) المخطط العام لتركيز كل من الرصاص والكروم

من خلال ملاحظتنا للأشكال (2،3،4،5،6،7) تبين ما يلي:

عند موقع الكورنيش الجنوبي، يلاحظ أن تركيز النحاس الأعظمي سجل في الشهر العاشر، حيث بلغت قيمته $1.66 \mu\text{g/l}$ وتركيزه في باقي أشهر السنة متقارب. أما تركيز التوتياء الأعظمي فسجل في الشهر السادس حيث بلغت قيمته $6.315 \mu\text{g/l}$ ، وسجل تركيز الرصاص الأعظمي في الشهر الثامن، حيث بلغت قيمته $0.39 \mu\text{g/l}$ K.0.315 وسجل تركيز الكروم الأعظمي في الشهر الثامن أيضاً، حيث بلغت قيمته $0.39 \mu\text{g/l}$. عند موقع جنوب أفاميا، نلاحظ أن تركيز النحاس الأعظمي سجل في الشهر العاشر، حيث بلغت قيمته $1.49 \mu\text{g/l}$ ، أما تركيز التوتياء الأعظمي فسجل في الشهر الثامن، وأقل ما يمكن سجل في الشهر الرابع من عام 1998، أما تركيز الرصاص الأعظمي فقد سجل في الشهر الثامن، حيث بلغت قيمته $0.31 \mu\text{g/l}$ ، وأقل تركيز له سجل في الشهر العاشر، حيث بلغت قيمته $0.15 \mu\text{g/l}$ ، وهي تعادل نصف القيمة الأعظمية المسجلة. أما تركيز الكروم الأعظمي فسجل في الشهر الثامن، وبلغت قيمته $0.36 \mu\text{g/l}$.

عند موقع الشاطئ الأزرق، نلاحظ أن تركيز النحاس الأعظمي سجل في الشهر الرابع في عام 1998، حيث بلغت قيمته $1.67 \mu\text{g/l}$. أما تركيز التوتياء الأعظمي فسجل في الشهر العاشر، وبلغت $5.44 \mu\text{g/l}$ ، وكذلك في شهر نيسان من عام 1998، حيث بلغت $4.8 \mu\text{g/l}$. أما تركيز الرصاص الأعظمي فقد سجل في الشهر الثامن، وبلغت قيمته $0.27 \mu\text{g/l}$ ، أما تركيز الكروم الأعظمي فقد سجل في الشهر الثامن والشهر الرابع، حيث بلغت قيمته $0.30 \mu\text{g/l}$ و $0.27 \mu\text{g/l}$ على التوالي.

نستنتج مما ذكر، أن تركيزي الرصاص والكروم يصلان إلى قيمتهما العظمى في الشهر الثامن. أما تركيزا النحاس والتوتياء فيصلان إلى قيمتهما العظمى في الشهرين العاشر والرابع، حيث يأخذان قيمة متقاربة نوعاً ما.

ومن جهة أخرى، نجد أن جميع التراكيز الأعظمية المقيسة للنحاس والتوتياء والكروم، هي أقل بكثير من الحد المسموح. أما تركيز الرصاص فهو أكبر بحوالي عشرة أضعاف القيمة المسموحة، وهذه النتيجة صحيحة. إذ تشير معظم الكتب والمراجع المختصة إلى أن تركيز الرصاص عند الشاطئ، يكون أكبر بعشرة مرات من تركيزه داخل البحر بعيداً عن الشاطئ [7،8]، يعود السبب في ذلك إلى التيارات والأمواج التي تعمل على نقل هذا المركب نحو الشاطئ.

لقد وجدنا من خلال دراستنا للتيارات البحرية والأمواج أن التيارات والأمواج تكون نشيطة تماماً في الشهرين العاشر والرابع، وتكون خاملة وقليلة الحركة في الشهرين السادس والثامن. وهذه النتيجة تتطابق مع دراسات أخرى أجريت بالتعاون مع مركز البحوث والدراسات العلمية [4] عام 1992-1994. وبعد الاطلاع على الأشكال المرفقة حول انتشار الملوثات السامة في مناطق الدراسة تبين أن المنطقة الأولى والثانية تقع قرب مجاري الصرف الصحي لمدينة اللاذقية، أما المنطقة الثالثة فواقعة قرب الشاطئ الأزرق التي تقع ضمن خليج بعيد جداً عن أي مصب. وبالعودة إلى الشكلان (6،7) الذين يمثلان توزيع تركيز العنصر الواحد في كل شهر للمواقع الثلاثة المدروسة (كورنيش جنوبي - أفاميا - شاطئ الأزرق)، نجد ما يلي:

من أجل عنصر النحاس مثلاً:

في الشهرين السادس والثامن، يحتوي موقع أفاميا على أعلى تركيز للنحاس، أما في الشهر العاشر فموقع الكورنيش الجنوبي يحوي أعلى تركيز لهذا العنصر أما في شهر نيسان عام 1998 نجد أن موقع الشاطئ الأزرق يحوي أعلى تركيز للنحاس، تؤكد هذه النتيجة حركة نشطة للتيارات والأمواج، وخاصة التيار

العام المتجه من الجنوب نحو الشمال؛ هذه الحركة عملت على حمل المواد معها حتى وصلت إلى موقع خليج الشاطئ الأزرق وترسبت فيه.

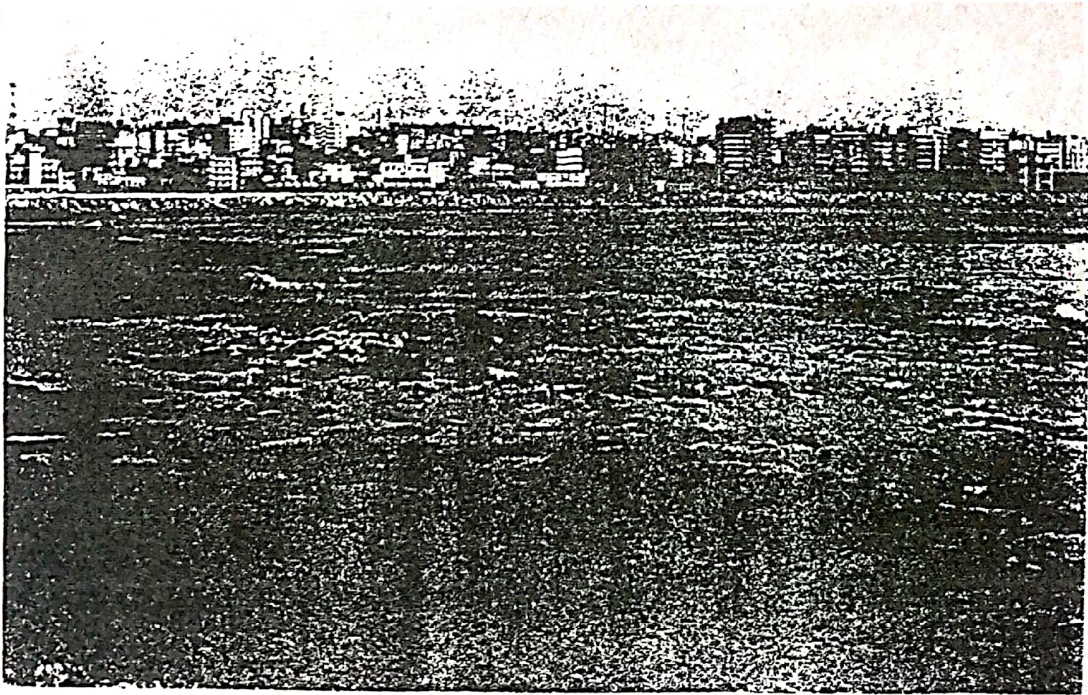
تلتحق هذه الملاحظة بشكل واضح على باقي العناصر، حيث نجد أن موقع الشاطئ الأزرق أصبح حوضاً خاملاً ترسب فيه العناصر. وقد لوحظت هذه النتيجة وجدت عند دراسة نقل الحبات الصلبة مع التيارات للموقع المدروس.

وهكذا نجد بعد هذه الدراسة، أنه لا بد من أخذ الاحتياطات، وإقامة المنشآت اللازمة؛ للإقلال من هذه الحركة التي عملت على نقل الملوثات المنحلة، والمحمولة، والطافية، وغير ذلك؛ لمنعها من الوصول إلى المناطق السياحية، أو إلى الأماكن التي تكون مستقراً للتجمع البشري.

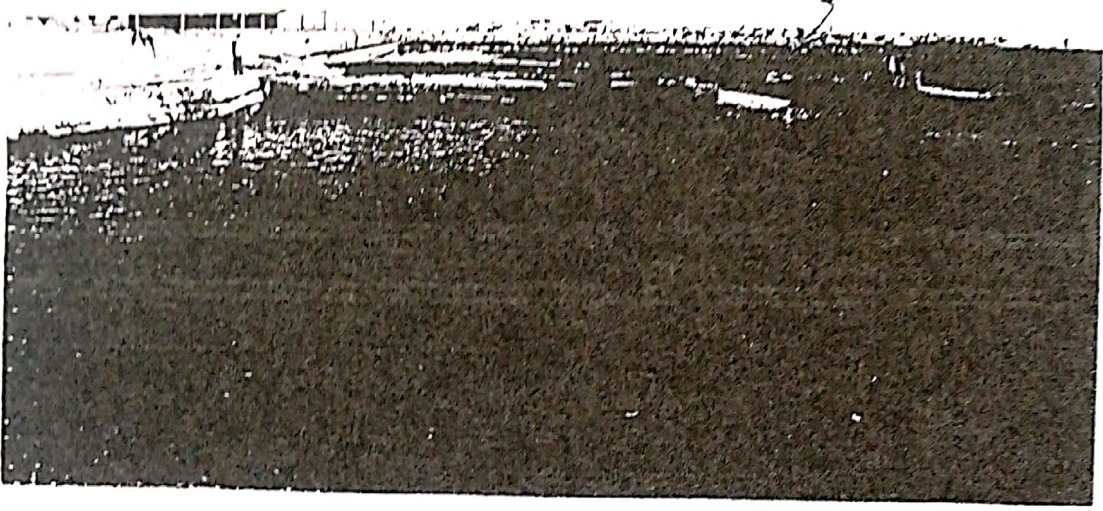
لقد تم التقاط بعض الصور للمواقع المدروسة تظهر من خلالها المصببات، وكذلك التغيرات التي حصلت في الموقع من جراء الظواهر الطبيعية، وكما تظهر نوع الشاطئ في هذه المنطقة. ويبين الشكلان (8،9) مخارج بعض المصببات. أما الشكل (10) فيظهر التكسرات والانهدامات الحاصلة في بعض المنشآت المقامة على الشاطئ، وذلك بسبب تغير عوامل الطبيعة المؤثرة في هذه المنشآت، وطبيعة المكان المقام عليه المنشأ.



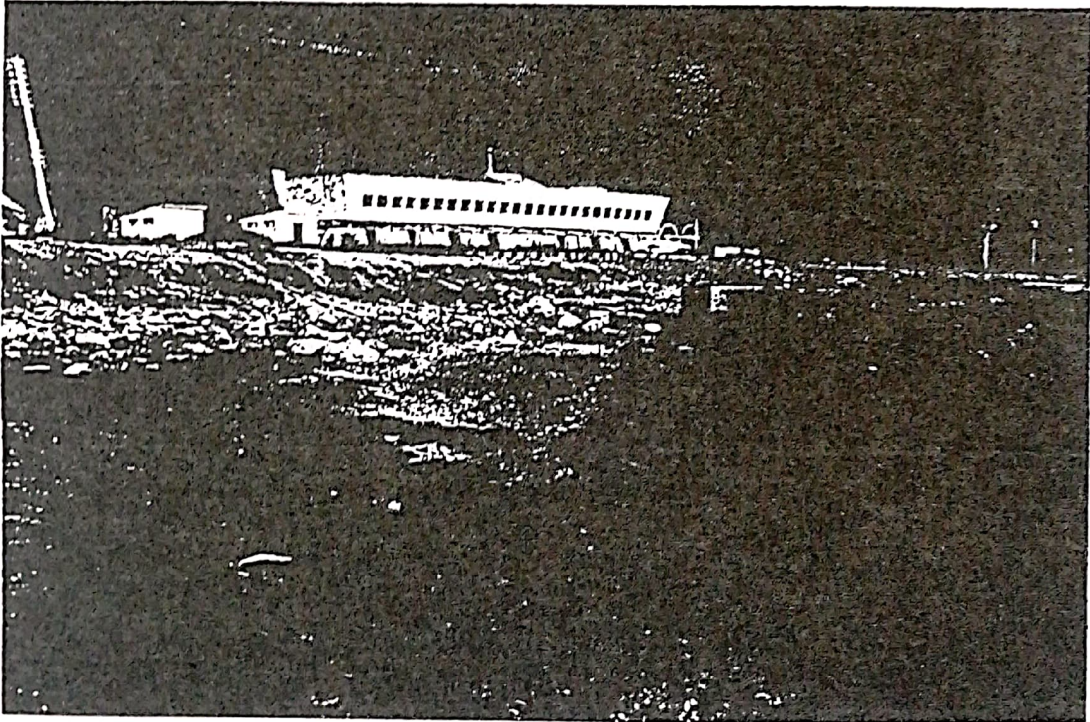
الشكل (8) مصب مجاري الكورنيش الجنوبي



الشكل (9) مصب مجاري أفاميا



تصدع مكسر المدينة الرياضية



الشكل (10) تصدع مخرج مجرور المدينة الرياضية والمكسر

النتيجة:

من خلال النتائج التي حصلنا عليها، والتي حددنا فيها تراكيز بعض المواد المعدنية السامة عند مصب مجاري (الكورنيش الجنوبي - أفاميا)، وعند الخليج المجاور للشاطئ الأخرى، ومن خلال تحديد قسمة التراكيز الأعظمية وزمن حدوثها نستطيع أن نوكد وجود مجموعة عوامل متداخلة، ولها علاقة مباشرة بها، وأهمها:

- 1- التيارات البحرية (سرعتها واتجاهها).
 - 2- ارتفاع الأمواج، وجهة انتقالها.
 - 3- كمية المياه المصروفة في المجاري.
 - 4- نوعية المياه المصروفة في المجاري (نفايات منزلية - نفايات صناعية - مياه أمطار).
 - 5- نفايات الصرف الناتج من السفن (بشرية - صناعية - نفطية).
 - 6- موقع المصب بالنسبة لمرفأ اللاذقية.
 - 7- تغير درجة حرارة الجو على مدار السنة.
- وقد وجدنا أن معظم التراكيز الأعظمية المقيسة أقل من المسموح بها عدا الرصاص فقبيته أكبر بعشرة أضعاف تقريباً، ويدل ذلك على أن مصدره ليس من اليابسة، وهذا ما أكده كثير من الباحثين [8٠9].

References

المراجع

- [1]- King, C.A.M., Beaches and Coasts, Edward Arnold, London, 1982
- [2]- Russell, R.C.H. Coast Erosion and defence Hydraulics Research paper No 3, Her Majestys' Stationary office, London, 1984.
- [3]- Wiegel, R.L., Oceanographical Engineering, Prentice Hall, New Jersey, 1985.
- [4]- I. ABOUKORA. Some Features of Water Circulation and Hydrological Structure in the North-Eastern Part of the Levantine Sea. The Scientific Center of the Syrian Arab Republic, Damascus, Syria, 1992, 1994
- [5]- Hydrogenous Sediment Shift in The Coastal Zone/R.D. Kos'yan, N.V. Pykhov, - M. Science, 1991 - 280P. - ISBN5-02-003509-2
- [6]- Chongement de la Côte de mer au nord de Lattaquié, 2^{ème} Conference Maghrebime de Génie des Procédes Gabes - Djerbe du 22 au 25 Avril 1996, D, F. Aïgho.
- [7]- RODIER J. - L'analyse de l'eau (eaux naturelles, eaux résiduaires, eau de mer) - Bordas, Paris 1978 P 903-905
- [8]- BERTINE K., Marin pollution program: strategies for a national program UN Southern Calif. Allan Hancock Foundation 41, 1972.
- [9]- Spectrométrie D'absorption atomique, tome II, Applicatin à l'analyse chimique par: Maurice PINTA 2^e Edition 377, 1980 Masson.